

Fig. 1

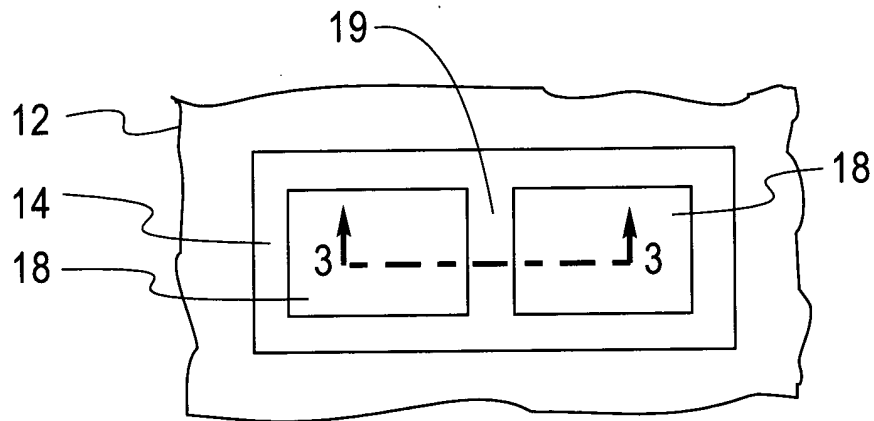


Fig. 2

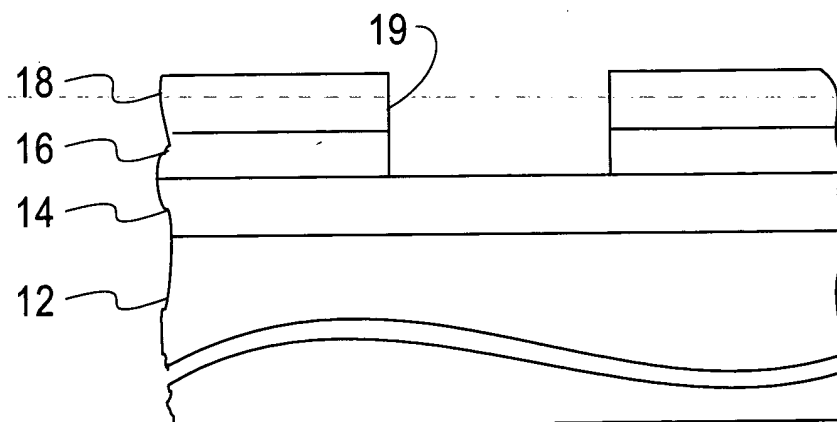


Fig. 3

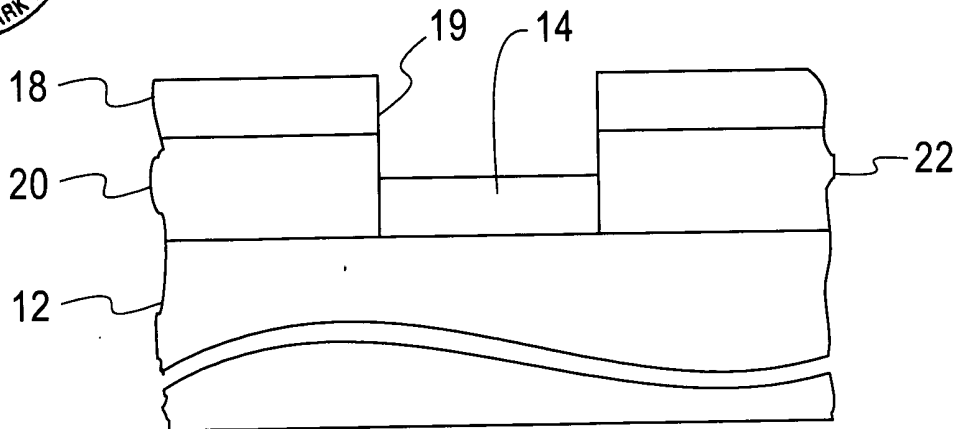


Fig. 4

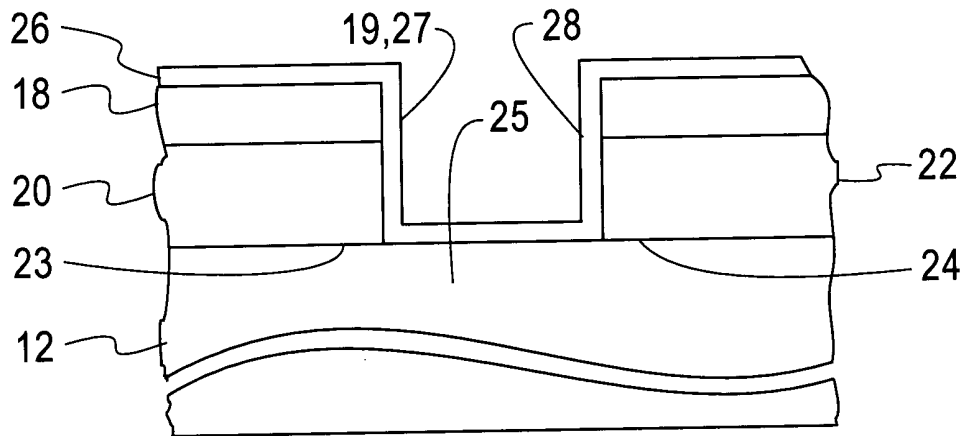


Fig. 5

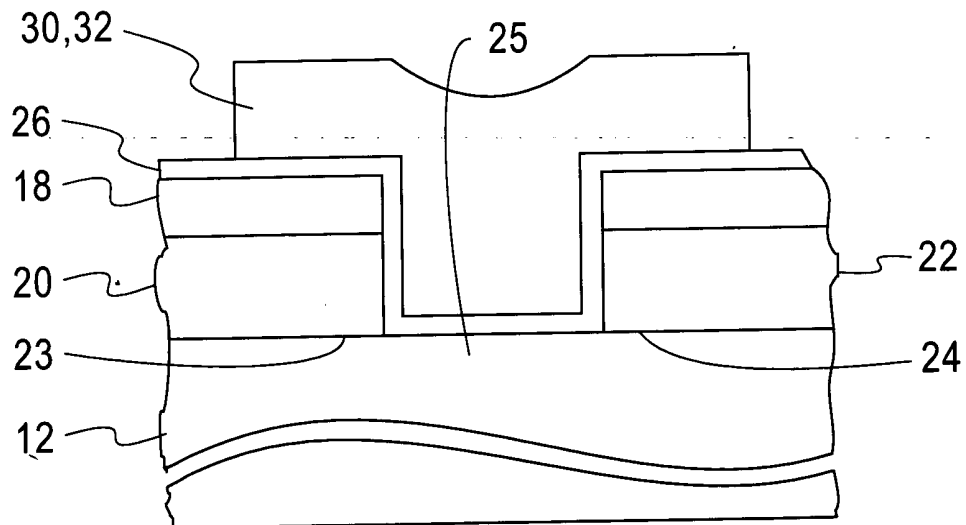


Fig. 6

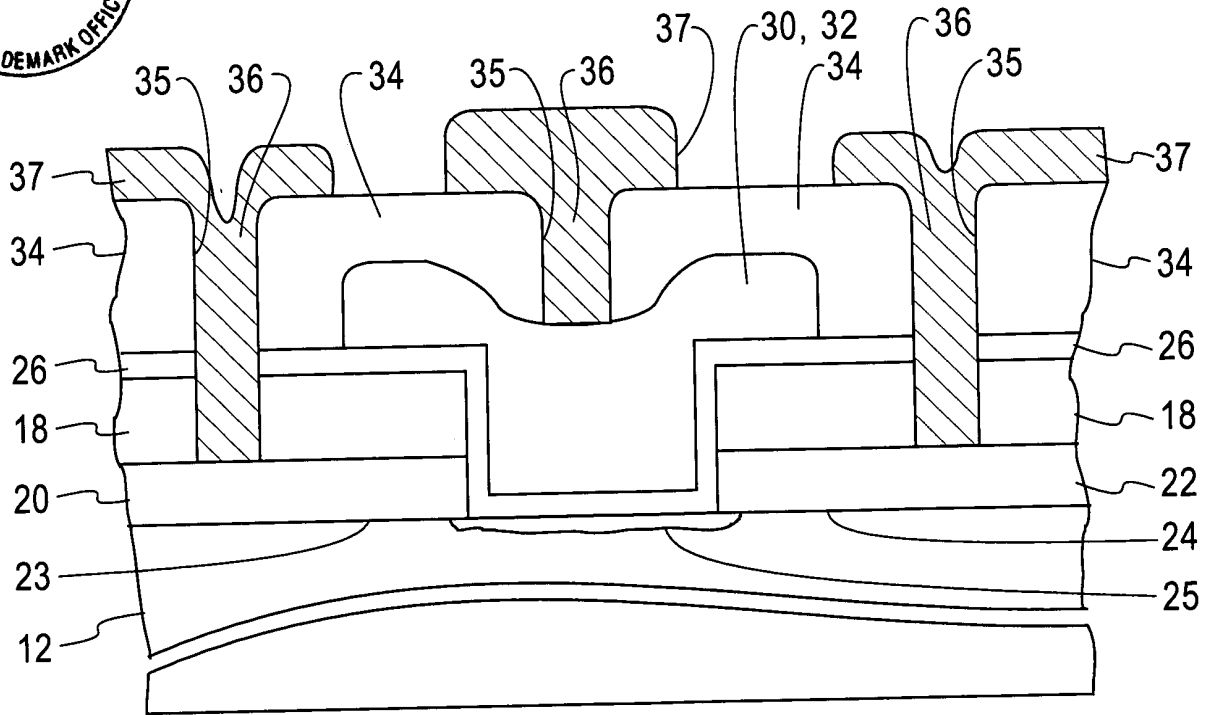


Fig. 7

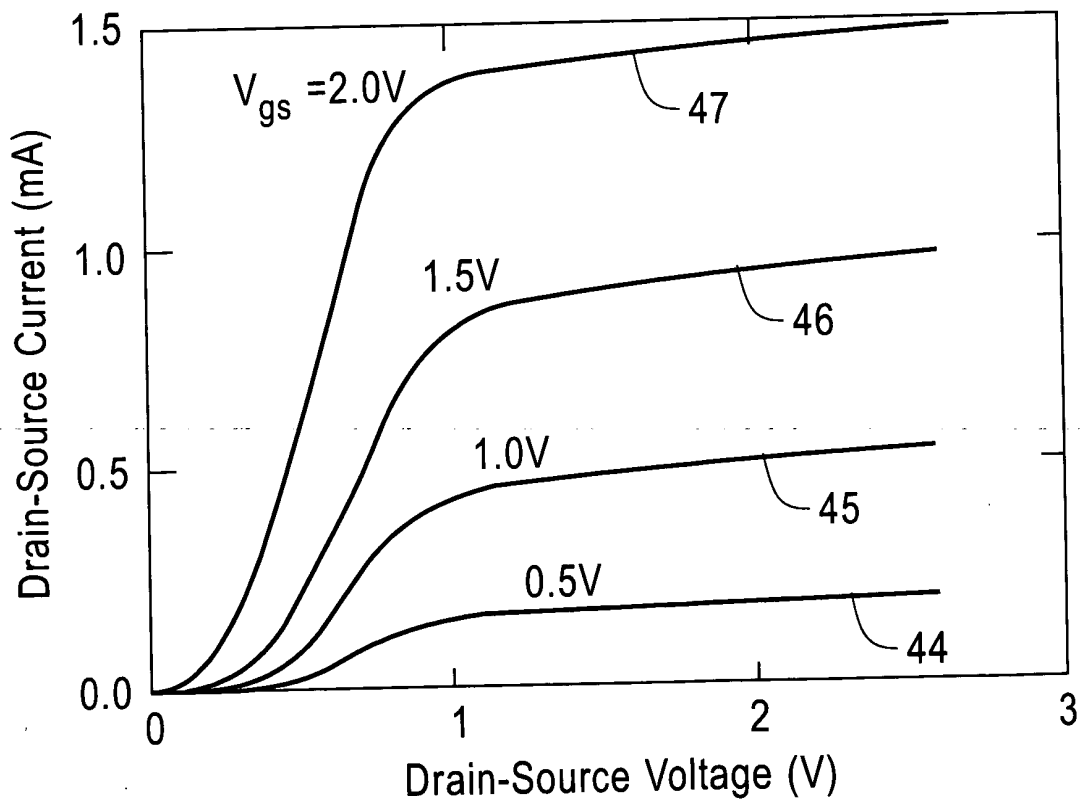


Fig. 8

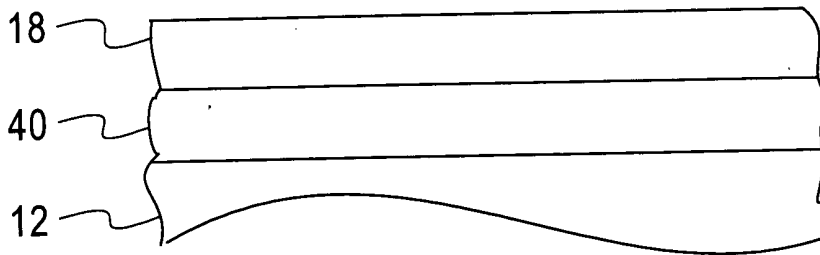


Fig. 9

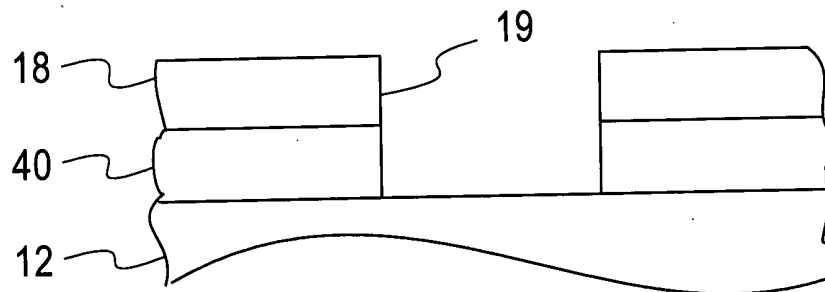


Fig. 10

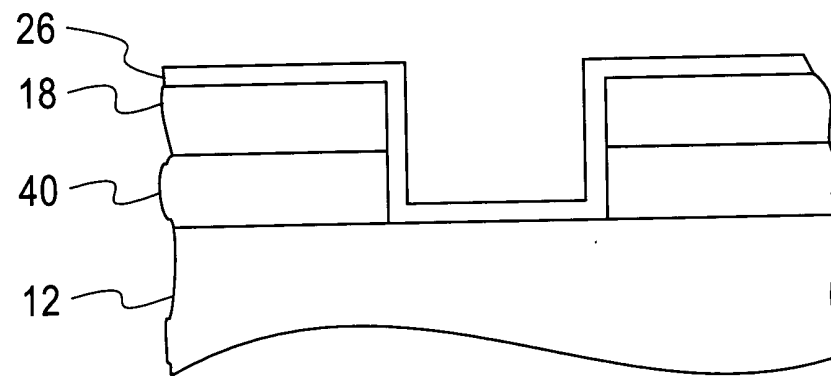


Fig. 11

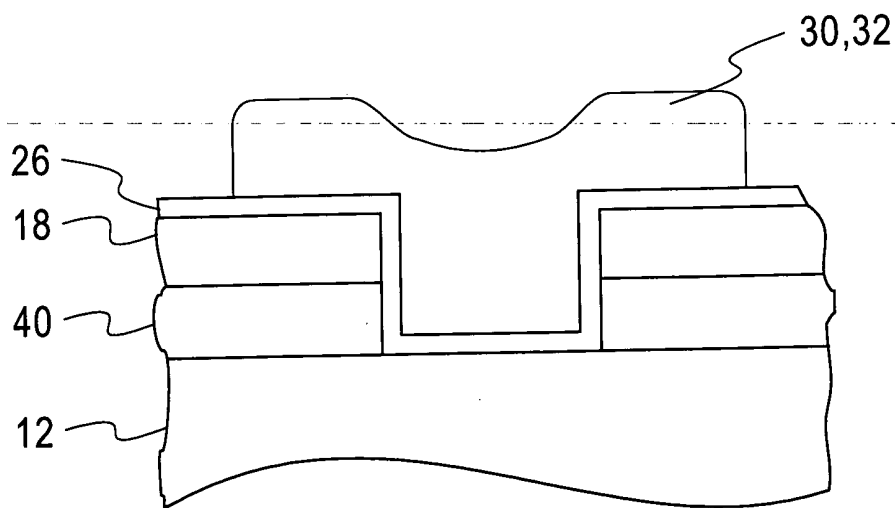


Fig. 12

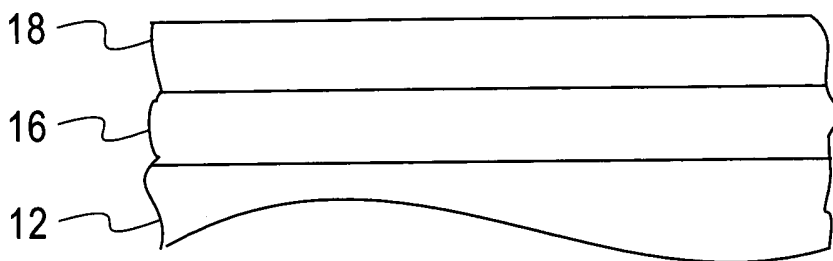


Fig. 13

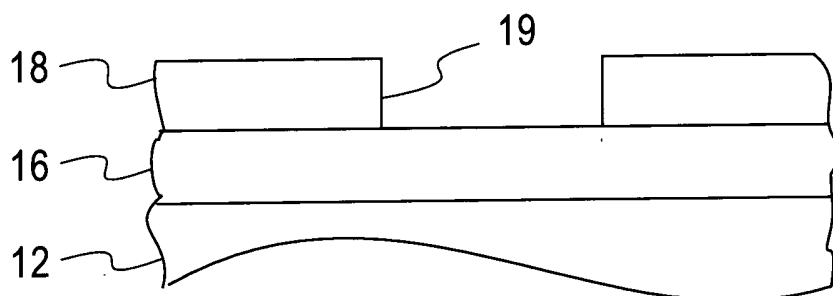


Fig. 14

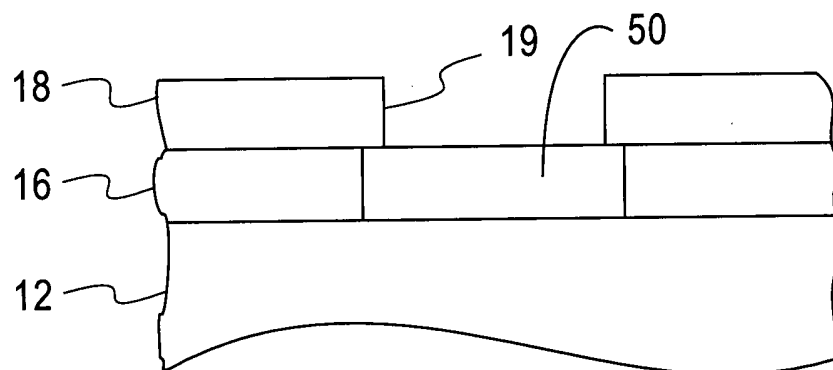


Fig. 15

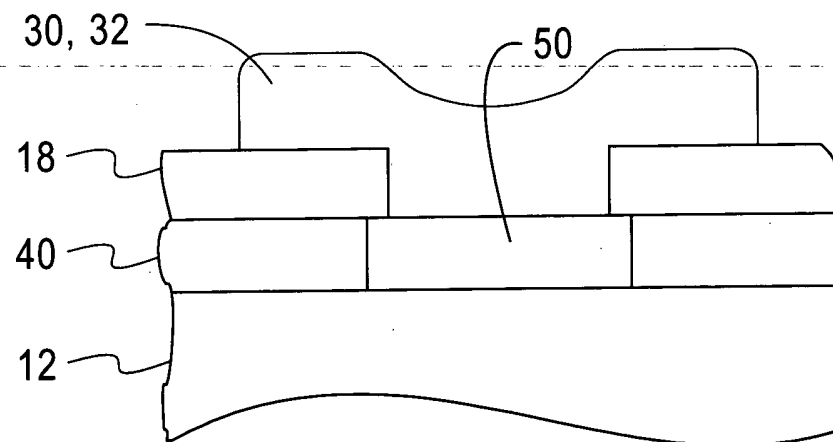


Fig. 16

Fig. 17

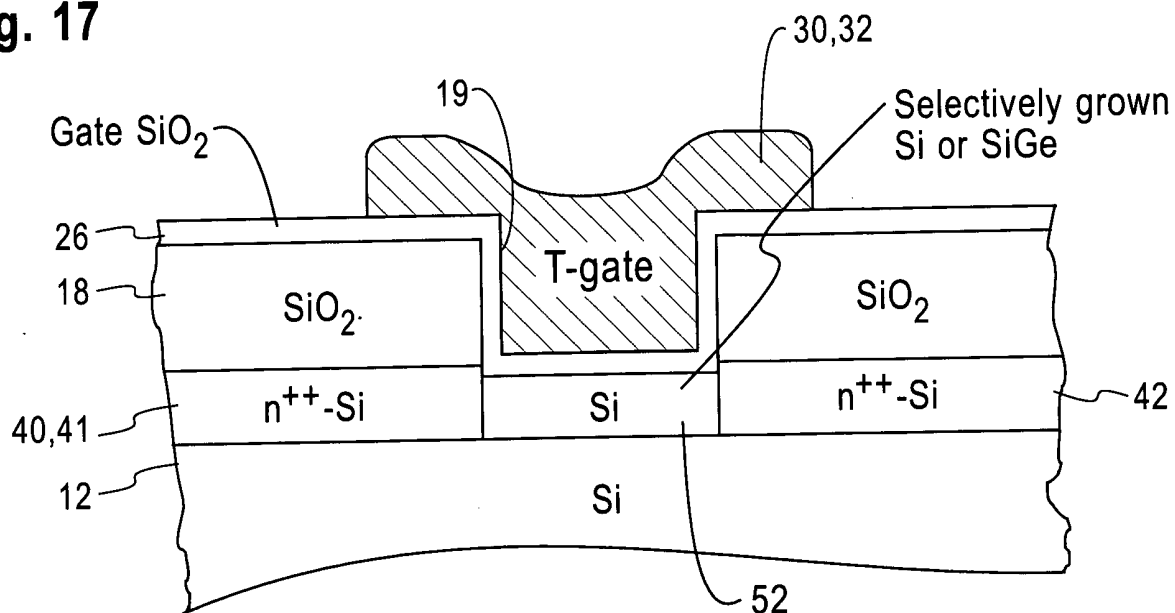


Fig. 18

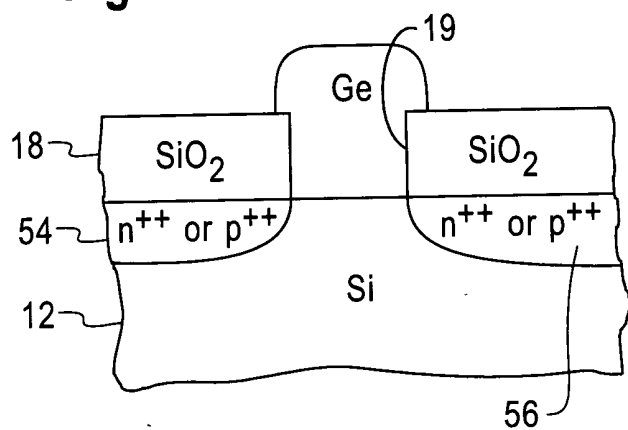


Fig. 19

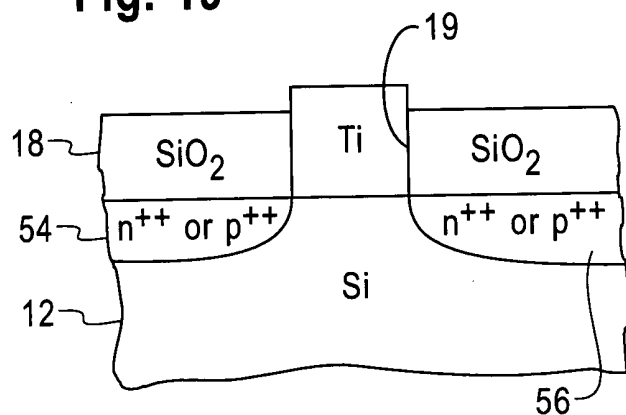
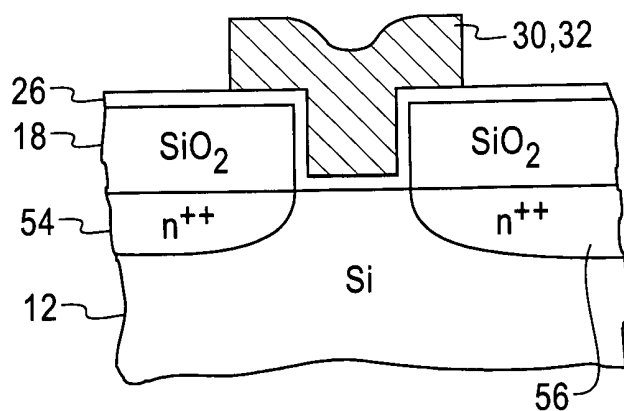


Fig. 20





7/8
K. Chan et al.
R.M.T. YO996-118X

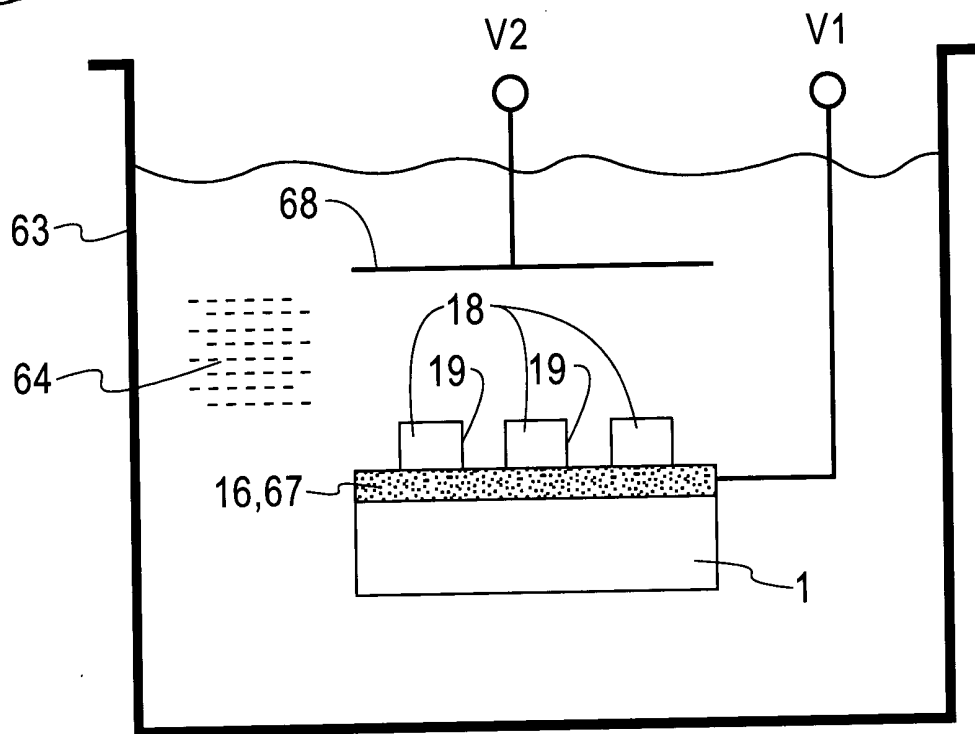


Fig. 21

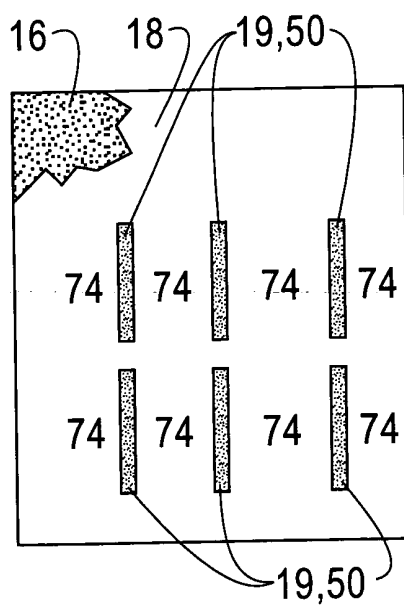


Fig. 22



Fig. 23

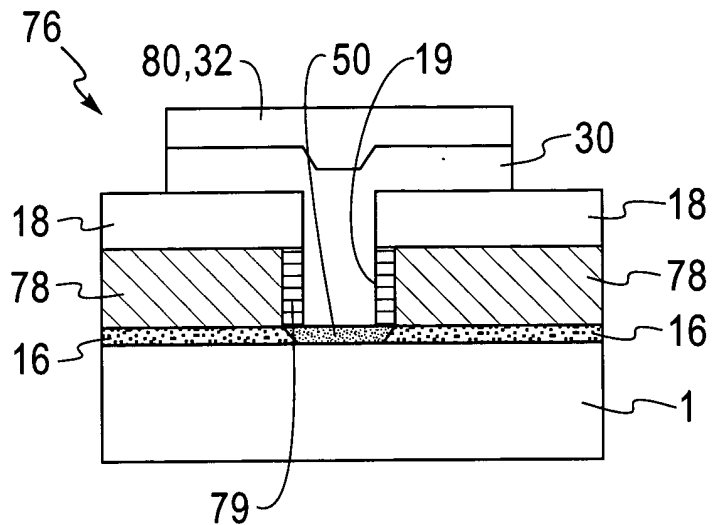


Fig. 24

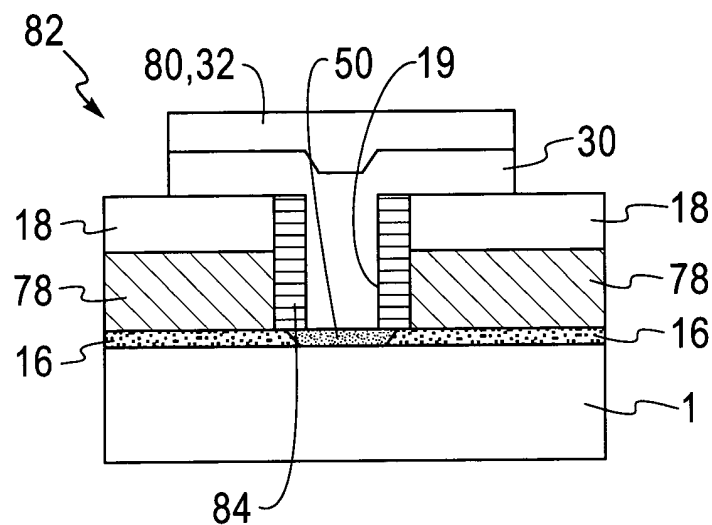


Fig. 25

